

نقش سیمانی شدن و فشردگی در میزان تخلخل ماسه سنگهای ژوراسیک میانی، در کمربند رخنمونی شمال شرق ایران

مهدي رضا پورسلطاني^{*}، رضا موسوی حرمي^۱

^۱گروه زمين شناسی، دانشکده علوم، دانشگاه آزاد اسلامی واحد مشهد، خراسان رضوي ، ايران

^۲گروه زمين شناسی، دانشکده علوم، دانشگاه فردوسی مشهد

*مسئول مکاتبات- آدرس الکترونیکی: mrpoursoltani@gmail.com

(دریافت: ۸۹/۵/۱۱؛ پذیرش: ۸۸/۱۰/۱)

چکیده

سازند سیلیسي آواری کشف رود (ژوراسیک میانی)، در حوضه رسوی کپه داغ، در منطقه مورد مطالعه بطور ناهم شیب بر روی سنگهای رسوی آذر آواری تربیاس (سازند سینا) و بر روی سنگهای اولترابازیک قدیمی تر قرار گرفته است. این سازند بطور هم شیب توسط سازند کربناته مزدوران (آكسفوردین-کیمریجین) پوشیده شده است. بر اساس مطالعات صحرایی و آزمایشگاهی، سه مجموعه رخساره (در قالب ۱۲ رخساره سنگی) شناسایی گردیده که در محیط رودخانه ای-دلتایی و توربیدیتی نهشته گردیده اند. ماسه سنگها بطور عمده لیتیک آركوز و فلدسپاتیک لیت آرنايت غنی از خرد سنگهای ولکانیکی و رسوی هستند. مهمترین سیمانهای شناسایی شده اکسید آهن، کربناتهای (کلسیت، دولومیت، سیدریت و آنکریت)، سیلیس، کانیهای رسی (کائولن، ایلیت، سریسیت و عمدتاً کلریت)، پیریت و ندرتاً باریت است. بنابر این سیمانی شدن و فشردگی (شیمیایی و مکانیکی) می تواند از عوامل کاهنده تخلخل این سازند محسوب گردد. بر اساس مطالعات پترولوجیکی و ژئوشیمیایی، تاریخچه دیاژنتیکی ماسه سنگهای کشف رود را چنین تفسیر نموده ایم که شامل مراحل دیاژنز اولیه، دفنی عمیق و انتهایی است. بر اساس شمارش نقطه ای ۱۵۰ مقطع نازک، میانگین تخلخل در حدود ۲/۷٪ می باشد. تخلخل موجود بطور عمده ثانویه بوده که در اثر دگرسانی فلدسپاتها، میکاها و خرد سنگها ولکانیکی، انحلال کربناتهای و در برخی جاهای فلدسپاتها و شکستگی حاصل شده است. ما معتقدیم که با میزان پایین تخلخل، ماسه سنگهای کشف رود دارای پتانسیل مخزنی پایینی می باشند. نتایج حاصل بر مبنای مطالعات سطح الارضی بوده، و امکان تغییر در عمق نیز وجود دارد. بنابر این، امیدواریم که نتایج این تحقیق بتواند در مطالعات اکتشافی بعدی، در شرق حوضه کپه داغ مورد استفاده قرار گیرد.

واژه های کلیدی: شمال شرق ایران، ژوراسیک میانی، تخلخل، سازند کشف رود، دیاژنز.

مقدمه

باژوین، در حوضه رسوی کپه داغ، با میزان ماسه سنگ نسبتاً بالا معرفی شده است (پورسلطانی و همکاران، ۱۳۸۵) (Poursoltani & Gibling, 2006; Poursoltani *et al.* 2007; Madani 1977) مطالعه ماسه سنگهای ضخیم لایه با گسترش زیاد مربوط به محروطهای زیر دریایی در برخی مناطق این سازند، نقطه عطفی جهت متمرکز نمودن مطالعات سنگ شناسی بر روی رخساره های ماسه سنگی (این سازند است. بنا بر این مطالعات دقیق سنگ شناسی، خصوصاً با تأکید بر فرآیندهای دیاژنتیکی، همچون سیمانی شدن و فشردگی و تأثیر آنها در کاهش و یا افزایش تخلخل حائز اهمیت است. منطقه مورد مطالعه در شمال شرق ایران و در جنوب ناحیه سرخس واقع است (شکل ۱).

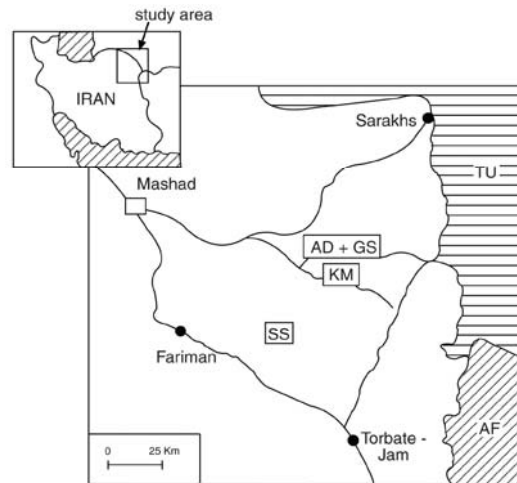
در صورتی که ماسه سنگها دارای گسترش جانبی و ضخامت قابل توجهی باشند، می توان تخلخل و نفوذ پذیری نیز به منظور سنگ مخزن مواد هیدروکربوری مورد نظر قرار می گیرند، که در این راستا مطالعات سنگ شناسی دقیقی را باید انجام داد. ترکیب سنگ نیز بسیار حائز اهمیت است، بنا بر این سنگهای در حد آركوز، لیتیک آركوز، فلدسپاتیک لیت آرنايت و لیت آرنايت معمولاً بیشتر تحت تاثیر فرآیندهای دیاژنتیکی واقع شده، و قابلیت بهتری از نظر ایجاد تخلخل و یا افزایش آن داشته که از نظر اقتصادی اهمیت دارد (پورسلطانی و موسوی حرمی، ۱۳۸۷؛ Poursoltani *et al.* 2006).

نظر به اینکه سازند کشف رود به عنوان یک سازند رودخانه ای-دلتایی تا توربیدیتی، دارای ۱۲ رخساره سنگی، با سن باتونین -

ای، طولی، محدب - مقعر و مضرس شده، که کنتاکت محدب - مقعر بیشترین نوع آن است (شکل A-B2). از دیگر دانه های اصلی شناسایی شده که دارای نسبت زیادی است فلدسپات می باشد که از این میان بیشتر دانه ها از نوع فلدسپات پاتاسیم دار (ارتوكلاز) است. خرده سنگهای شناسایی شده نسبت به کوارتز و فلدسپات درصد کمتری را تشکیل می دهد. عمدۀ خردۀ سنگهای شناسایی شده از نوع رسوبی است که از این میان خردۀ سنگهای کربناته و چرت بیشترین نوع می باشند. خردۀ سنگهای رسوبی کربناته در بسیاری از مقاطع قابل شناسایی است که حاصل فرسایش سنگهای کربناته قدیم تر است، اما هیپگونه فسیلی جهت تعیین سن احتمالی آنها شناسایی نشده است. از خردۀ سنگهای رسوبی دیگر نیز می توان به ماسه سنگ، شیل و سیلت استون اشاره نمود. خردۀ سنگهای شیلی و سیلت استونی احتمالاً بیشتر درون حوضه ای بوده و حاصل فرسایش لایه های زیرین است. بعلاوه خردۀ سنگهای آذرین شناسایی شده است که بطور عمده از نوع حد واسط و بازیکی اند، و از سنگهای قدیم تر حاصل شده اند. خردۀ سنگهای دگرگونی نیز از دیگر اجزاء شناسایی شده می باشند که نسبت به سایر خردۀ سنگها درصد کمتری دارند. خردۀ سنگهای دگرگونی عمدتاً کوارتز پلی کریستالین دگرگون شده است.

بیوپتیت و مسکویت نیز از کانیهای فرعی بوده که در برخی از نمونه ها دگرسان شده اند و منشأ آهن، منیزیم و کانیهای رسی همچون کلریت محسوب می گردد (شکل C2). کانیهای سنگین در نمونه های مورد مطالعه نادر بوده، اما آنجه مورد شناسایی قرار گرفته است شامل زیرکان، اسفن و گارنت است، گرچه گاهی تورمالین نیز شناسایی شده است، که از این میان زیرکان بیشترین نسبت را دارد. در بسیاری از مقاطع اثراتی از خردۀ های فسیلی همچون مرجان، جلک، گاستروپود و براکیوپود شناسایی شده است. خردۀ های فسیلی شناسایی شده احتمالاً حاصل فرسایش سنگهای آهکی دیرینه است که در منشأ رخنمون داشته اند.

میزان ماتریکس در ماسه سنگهای سازند کشف رود متغیر بوده و از کمتر از یک درصد تا حدود ۱۹٪ در تغییر است. در میان رخساره های شناسایی شده، عمدتاً ماسه سنگهای خیلی ریز تا بیشترین درصد ماتریکس را داشته که مربوط به ماسه سنگهای نازک لایه است. سیمانهای شناسایی شده در ماسه سنگهای سازند کشف رود متنوع است. از عمدۀ سیمانهای شناسایی شده اکسید آهن، کربناته (کلسیت، دولومیت، سیدریت و آنکریت)، سیلیس، رس و گاهآ پیریت است، گرچه ندرتاً باریت در برخی نمونه ها شناسایی گردیده است، که میزان آن بسیار ناچیز بوده و قابل اندازه گیری نیست، لیکن توسط مطالعات ژئوشیمیایی شناسایی شده است. شکل ۳، نمودار رسم شده توسط میکروسکوپ الکترونی مدل JKA-8200 مجهز به دستگاه WDX،



شکل ۱: موقعیت جغرافیایی منطقه مورد مطالعه در حوضه رسوبی کپه داغ (شمال شرق ایران). برش های برداشت شده نیز نشان داده شده است [AD (آق دربند)، GS (قلعه سنگی)، KM (کل ملک آباد)، SS (سفید سنگ)].

روش مطالعه

به منظور مطالعات سنگ شناسی، از چهار برش آق دربند، قلعه سنگی، سفید سنگ و کل ملک آباد بطور سیستماتیک تعداد ۷۵۰ نمونه ماسه سنگی برداشت شده است که از این میان تعداد ۳۰۰ مقطع نازک جهت مطالعات سنگ شناسی انتخاب شده اند. نامگذاری ماسه سنگها بر مبنای طبقه بندی فولک (Folk 1980) انجام شده است. در این تحقیق تعداد ۱۰ نمونه نیز با روکش سربی جهت مطالعه با میکروسکوپ الکترونی مدل JKA-8200 مجهز به دستگاه WDX، بروش ماکروپروب جهت مطالعات ژئوشیمیایی در دانشگاه دالهاظری کانادا مورد مطالعه قرار گرفته است. همچنین تعداد ۱۵۰ نمونه از برش کل ملک آباد با چسب اپاکسی که به رنگ آبی آغشته شده اند، جهت تعیین تخلخل تهیه و مورد مطالعات قرار گرفته است.

مطالعات پتروگرافی

طی مطالعات انجام شده، دانه های آواری (شامل کوارتز، فلدسپات، انواع خردۀ سنگها و کانیهای فرعی)، ماتریکس و سیمانهای موجود شناسایی شده اند، که در نمونه های مورد مطالعه دارای درصد های متفاوتی هستند (جدول ۱). گفتنی است کلیه نتایج پتروگرافی به تفکیک برای هر یک از نمونه ها موجود است، که از حوصله این مقاله خارج است.

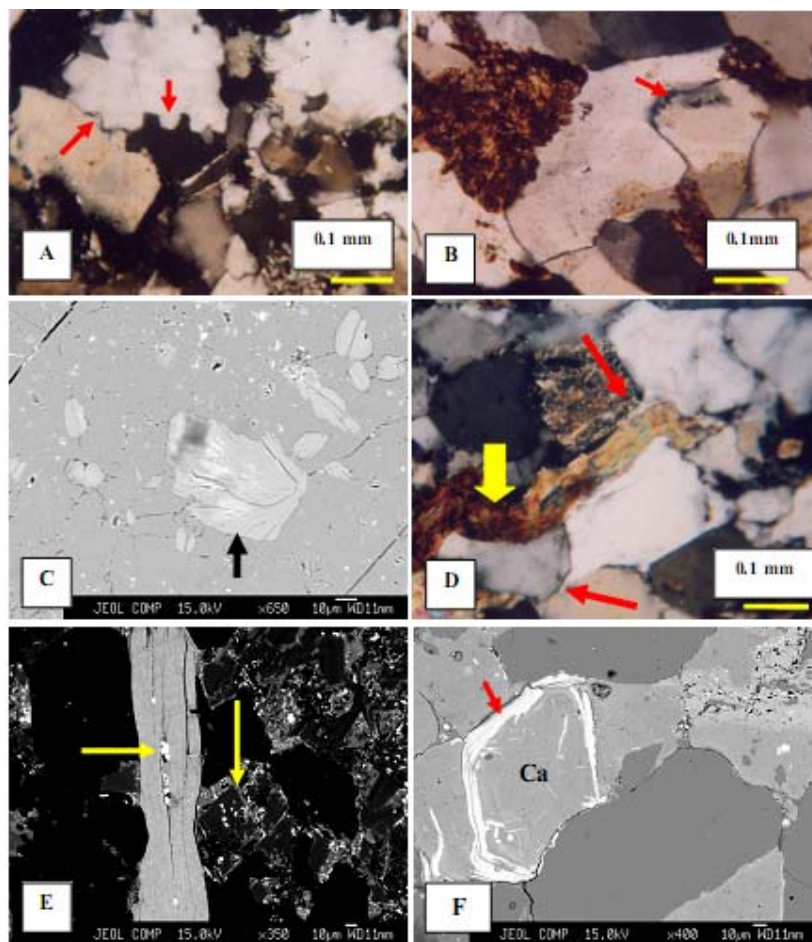
دانه های کوارتز عمدتاً از نوع منوکریستالین است، هرچند در برخی نمونه ها انواع کوارتز پلی کریستالین نسبت بالایی را دارد. عامل فشردگی باعث ادغام دانه ها از جمله دانه های کوارتز در یکدیگر گردیده، که در نهایت باعث تغییر شکل دانه های اولیه شده است. همچنین میزان فشردگی، باعث تنوغ تماس دانه ها از نوع نقطه

در حد نابالغ و فوق بالغ نیز شناسایی شده اند. بنا بر نوع دانه ها، بلوغ بافتی، نوع سیمان، اندازه دانه ها و وجود کانیهای فرعی، ماسه سنگهای سازند کشف رود، بر مبنای طبقه بندي پنجگانه فولک (Folk 1980) نامگذاری شده اند. لذا تمرکز ماسه سنگها در محدوده های لیتیک آرکوز (٪۳۰)، فلدوپاتیک لیتارنایت (٪۴۴) و لیتارنایت (٪۲۶) است، که از این میان لیتارنایت ها به ویژه نوع سد آرنایت (چرت آرنایت و کلک لیتایت) و ولکانیک آرنایت شناسایی شده اند (شکل ۴).

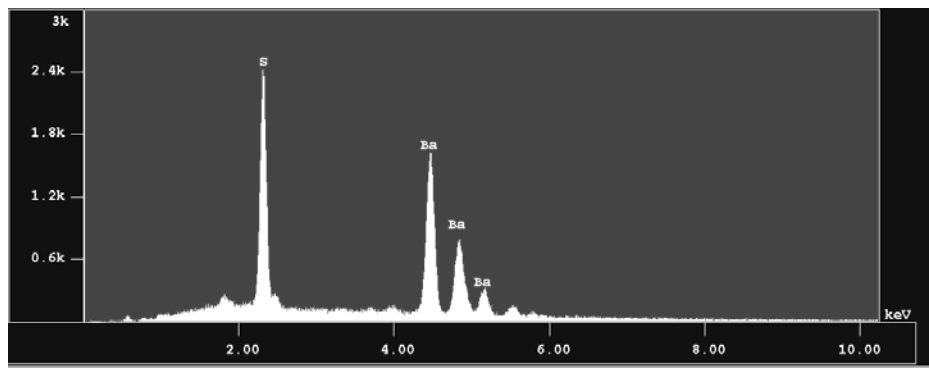
یک سیمان نادر، حاصل شده است. در این نمودار عناصر Ba و S تشخیص داده شده اند. از میان سیمانهای مذکور اکسید آهن فراوان ترین نوع بوده و سیمان رسی کمترین فراوانی را دارد. اندازه دانه ها در ماسه سنگها متغیر بوده و از خیلی ریز تا خیلی دانه درشت تغییر می کند، اما عمدها دانه متوسط و دانه ریزند، گرچه برخی از ماسه سنگها دانه درشت و خیلی دانه درشت بوده، که درصد چشمگیری را بخود اختصاص می دهد. بلوغ بافتی ماسه سنگهای این سازند عمدها بالغ تا نیمه بالغ است، گرچه ماسه سنگهای دارای بلوغی

جدول ۱: میانگین فراوانی دانه های تشکیل دهنده و سیمان و ماتریکس موجود در ماسه سنگ های سازند کشف رود بر حسب درصد دانه ها، ماتریکس و سیمان در کل سنگ برآورد گردیده است. اما در ستون دوم دانه ها و سیمانها بطور مجزا درصد گیری شده اند. بطوریکه درصد هر نوع دانه نسبت کل دانه ها و هر نوع سیمان نسبت به کل سیمان موجود محاسبه شده است.

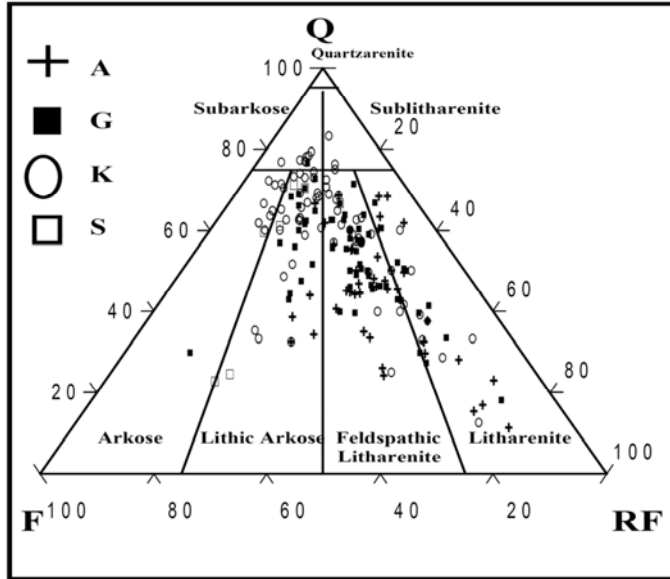
MONOCRYSTALI	(QUARTZ)
NE (35.26)	52.66 (MAX: 78.9-MIN: 33)
POLYCRYSTALI	
NE (17.4)	
ORTHOCLASE	FELDSPARS
(16.71)	(23.37)
PLAGIOCLASE	(MAX: 36.6-MIN: 9.9)
CHERT (6.8)	SEDIMENTERY
CARBONATE (4.48)	(12.43)
SANDSTONE & SHALE (1.15)	(MAX: 43.6-MIN: 1.5)
VOLCANIC (5.58)	ROCK FRAGMENTS (20.61)
(MAX: 9.3- MIN: 0)	GRAIN S (74.2%)
METAMORPHIC (2.6) (MAX: 4.9- MIN: 0)	MICA (3.16)
HEAVY MINERALS (RARE)	
FOSSIL FRAGMENTS (RARE)	
Fe-OXIDE (38.35)	MATRI X (~6.7%)
CARBONATES (30.04)	
SILICA (22.29)	CEMEN T (19%)
CLAY (8.32)	
PYRITE (RARE)	
BARITE (RARE)	



شکل ۲: تماس دانه های کوارتز: (A) تصویر میکروسکوپی از تماس مفرس، (B) تصویر میکروسکوپی از تماس محدب - مقعر (X400)، (C) بخشی از یک دانه فلزیات دگرسان شده و تشکیل کانی کلریت، بر مبنای آنالیز عنصری WDX ، (D) انحلال فشاری و ایجاد سیمان سیلیسی و نفوذ آن به داخل فضای بین دانه ها (فلش های قرمز)، فلش ضخیم تر کانی میکا که در اثر فشار تغییر شکا داده است را نشان می دهد، (E) گرهک های اکسید آهن داخل میکا (فلش افقی)، کانی های دولومیت در مجاورت کانی تشکیل گردیده است (فلش عمودی)، این شناسایی ها بر مبنای آنالیزهای ژئوشیمیابی WDX صورت گرفته است. (F) هاله اکسید آهن بدور دانه کربناته (Ca)، (هاله اکسید آهن با فلش نشان داده شده است). (تصاویر C, D, E , F به روشنی Back scattered به تهیه شده اند).



شکل ۳: کانی باریت ندرتاً در ماسه سنگهای سازند کشف رود بصورت سیمان ظاهر گردیده است. عناصر Ba و S که در ساختمان ملکولی عنصر باریت شرکت نموده اند توسط نمودار مشخص شده است (نمودار توسط میکروسکوپ الکترونی تهیه شده است).



شکل ۴: طبقه بندی ماسه سنگهای سازند کشف رود بر اساس طبقه بندی فولک (۱۹۸۰) (جهت اطلاعات بیشتر به متن مراجعه شود). (A) ماسه سنگهای برش آق دربند، (G) ماسه سنگهای برش قلعه سنگی، (K) ماسه سنگهای برش کل ملک آباد، (S) ماسه سنگهای برش سفید سنگ [اختلاف در علائم صرفا جهت نمایش فراوانی نمونه ها در برشهای مختلف است].

ب) یون آهن که ممکن است از هوازدگی سنگهای دیرینه حاصل شده و بصورت محلول وارد محیط جدید گردیده باشد و سپس بصورت سیمان ته نشست کرده باشد. برای مثال می توان به مطالعات راس و همکاران (Ros *et al.* 1997) بر روی رسوبات سیلیسی آواری کرتاسه و میوسن در حاشیه شمال غرب آفریقا اشاره نمود.

ج) منشأ دیگر جهت تامین یون آهن موجود، وجود هاله ای از اکسید آهن بدور دانه های آواری بصورت اولیه است. لذا چنین استنباط می گردد که چنین دانه هایی قبل از حمل به داخل حوضه، در محیطی اکسیدان قرار داشته اند. از اینرو اکسید آهن موجود در اطراف این دانه ها پس از انحلال می تواند بعنوان منبعی جهت تأمین یون آهن محسوب گردد همانگونه که مک براید و همکاران (McBride *et al.*, 1987) در ارتباط با ماسه سنگهای سازند نورفلت (ژوراسیک فوقانی) در ایالت آلاباما چنین اظهار داشته اند (شکل ۲F).

د) قرار گیری رسوبات در محیط اکسیدان می تواند عاملی جهت تامین سیمان اکسید آهن باشد. ماسه سنگهای قرمز بخش فوقانی برشهای آق دربند و قلعه سنگی سازند کشف رود مؤید این واقعیت است (Ros *et al.* 2006). بنا به مطالعات راس و همکاران (Poursholtani *et al.* 2006) گردیده که پس از تشکیل در حفرات و خلل و فرج رسوبات ته نشست شده اند.

انواع سیمانها

همانگونه که قبلاً اشاره شد، سیمانهایی که مورد شناسایی قرار گرفته اند، به ترتیب فراوانی آنها، شامل اکسید آهن، کربنات، سیلیس، کانیهای رسی و به مقدار بسیار کم پیریت است.

۱- اکسید آهن

یکی از فراوانترین سیمانها در ماسه سنگهای سازند کشف رود اکسید آهن با میانگین ۳۸ درصد از سیمانها است، که بین دانه ها را پر نموده است. در جدول ۲ نتایج آنالیز برخی از نمونه ها با ماکروپروب نشان داده شده است. لذا بدلیل اینکه در برخی بخشها اکسید آهن قابل تشخیص نبوده، لذا سعی گردیده است مطالعات ژئوشیمیایی نیز بر روی آنها انجام گیرد. نتایج برخی از این آنالیزها در جدول ۲ آورده شده است. همانطور که مشهود است میزان FeO نسبت به دیگر اکسیدهای شناسایی شده موجود بسیار بالا است که مؤید حضور اکسید آهن می باشد. یون آهن موجود می تواند از منابع متفاوت تأمین شده باشند که عبارتند از:

(الف) حاصل دگرسانی کانیهای فرومیزیم همچون میکا و خرده سنگهای اولترابازیکی است. در رخساره های سازند کشف رود، دگرسانی میکا می تواند باعث آزاد سازی یون آهن گردیده باشد که بر اثر افزایش آنها، گرهکهایی از آن در مجاورت و یا داخل دانه های میکا تشکیل شده است (شکل ۲E). برای مثال می توان به مطالعات مشابهی که توسط مراد و آلدaham (1986)، بر روی رسوبات ماسه سنگی پروتوزوئیک سودان انجام شده است اشاره کرد.

جدول ۲: آنالیز ژئوشیمیایی سیمان اکسید آهن برخی از نمونه های ماسه سنگی سازند کشف رود

Sample	TiO ₂	K ₂ O	Na ₂ O	Al ₂ O ₃	MnO	Cr ₂ O ₃	CaO	MgO	SiO ₂	FeO
135	0.2538	0.1092	0.2572	0.1072	0.4286	0.5427	0.2652	0.1564	0.1918	97.6955
216	0.1325	0.0592	0.0386	0.0112	0.9193	0.3476	1.1773	1.7063	4.3465	91.9678
297	0.1406	0.2407	0.0596	2.2494	0.2869	0.3291	0.8138	1.3842	9.4219	84.4064
479	0.1249	0.0482	0.0389	0	0.1669	3.0604	0.6612	0.3611	5.3160	92.9763
9	0	0	0	0	0	0	2.0394	2.0855	12.8782	82.544

در اطراف دانه های بیوپتیت این نظریه را تأیید می کند (Poursoltani et al. 2006)

همانطوری که در شکل ۲E مشهود است، در اثر دگرسانی کانیهای میکا، گرهکهایی از اکسید آهن در داخل آن تشکیل گردیده که در مجاورت این دانه ها نیز کانیهای دولومیت غنی از آهن شکل گرفته اند.

آنکریت گرچه درصد بسیار ناچیزی را شامل می گردد، اما از جمله کانیهای کربناته شناسایی شده، که بصورت سیمان ظاهر شده است. این کانی نسبت به کلسیت و دولومیت کمتر است. بر اساس آنالیزهای ژئوشیمیایی انجام شده در جدول ۳، نمونه ۴ آنکریت می باشد. حضور اکسیدهای منیزیم، کلسیم و آهن دلیلی بر این ادعا می باشد. سیدریت نیز از کانیهای کربناته نادر بوده که عمدتاً در درزه ها و حفرات شناسایی گردیده است (شکل ۶C). این کانی نسبت به دیگر کانیهای کربناته درصد ناچیزی را شامل می گردد. از نظر تشکیل، حضور کاتیون آهن (Fe^{2+}) که نتیجه دگرسانی کانیهای فرومینیزین و احتمالاً وجود محیط اکسیدان است، در تشکیل کانی سیدریت نقش اساسی دارد. در جدول ۳، نمونه های ۷۶ و ۱۰۹ بدلیل وجود ترکیب اکسیدهای آهن، منیزیم و کلسیم، نشانگر حضور کانی سیدریت می باشد. نتایج حاصل مطالعات انجام شده توسط واناس (Wanas 2008)، بر روی ماسه سنگهای اوسن زیرین در مصر نیز مشابه نتایج مطالعات انجام شده بر روی سیمان کربناته ماسه سنگهای مورد مطالعه می باشند.

در ماسه سنگهای سازند کشف رود می توان دو منشاء برای تأمین یون کربنات برای تشکیل سیمان پیشنهاد کرد:

الف) کربنات حاصل از انحلال خرده های کربناته آواری ب) کربنات حاصل از انحلال دانه های کربناته آواری

از آنجاییکه وجود مواد ارگانیکی در رسوبات شیلی سازند کشف رود محزز و مشخص است (Afshar Harb, 1979) بنا بر این منبعی جهت تولید Co^2 محسوب می گردد. از طرفی انحلال خرده سنگهای آواری کربناته و خرده ها فسیلی، باعث ایجاد یا افزایش یون Ca^{2+} شده است که با CO_2 حاصل از فساد مواد آلتی تشکیل $CaCo^3$ را داده و در نهایت بصورت سیمان کربناته ته نشست کرده است. تفاسیر فوق بر اساس مطالعات مشابه انجام شده توسط ماتیاس (Matyas 1998) بر روی

۲- کربنات

سیمان کربناته یکی از اصلی ترین سیمان های موجود با میانگین ۳۰ درصد در ماسه سنگ های سازند کشف رود محسوب می گردد. نتایج آنالیز نمونه ها با ماکروپروب در جدول ۳ ارائه شده است. برخی از نمونه های مورد مطالعه بدون سیمان کربناته بوده، ولی در بعضی دیگر میزان سیمان کربناته موجود تا ۶۰٪ می رسد (شکل ۶A-C-D).

سیمانهای کربناته یکی از عوامل مهم کاهش تخلخل، اعم از اولیه و ثانویه، محسوب می گردد. گرچه در بسیاری از نمونه ها سیمان کربناته باعث کاهش تخلخل گردیده است، اما در مقابل، انحلال بخششایی از سیمان کربناته، خود نیز به افزایش تخلخل ثانویه کمک نموده است. برای مثال به مطالعات مشابه رید و همکاران (Reed et al. 2005) بر روی ماسه سنگهای کربنیفر در کوههای آپلاش جنوب غرب ویرجینیا در آمریکا، و هال و همکاران (Hall et al., 2004)، بر روی ماسه سنگهای پلیو-پلیستوون نیومکزیکو در آمریکا می توان اشاره نمود.

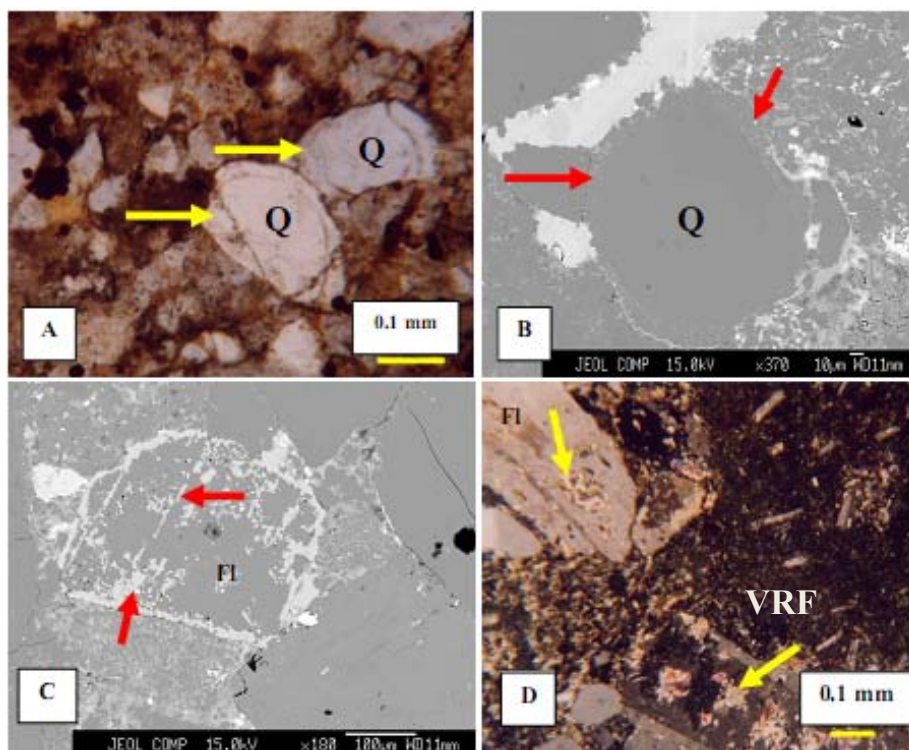
از میان سیمانهای کربناته، کلسیت غنی از آهن، دولومیت، سیدریت و آنکریت از جمله سیمانهای شناسایی شده در ماسه سنگهای سازند کشف رود می باشند. بر اساس آنالیزهای ژئوشیمیایی نقطه ای انجام شده، کلسیت خالص ($CaCo_3$) بیشترین درصد را دارا است. بنا بر اطلاعات ارائه شده در جدول ۳ نمونه های ۷ و ۴۲۹ نشانگر وجود کلسیت خالص می باشد، در صورتیکه نمونه های ۸۲، ۶۱ و ۲۶۱ دارای اکسید آهن است و مؤید حضور سیمان کلسیتی غنی از آهن می باشد. دولومیت نیز از کانیهای کربناته شناسایی شده در ماسه سنگهای سازند کشف رود است. این کانی در طی دیاژنز جانشین کلسیت گردیده است (شکل ۶A). طبق نتایج ارائه شده در جدول ۳، بر اساس آنالیزهای ژئوشیمیایی انجام شده، نمونه های ۸۱ و ۱۲۰ غنی از اکسید آهن و منیزیم است. لذا با حضور درصد قابل توجهی از FeO ، کانی های دولومیتی شناسایی شده غنی از آهن می باشند. احتمالاً کاتیونهای مذبور در نتیجه دگرسان شدن کانیهای فرومینیزین، خصوصاً از میکا حاصل شده است. برای مثال می توان به مطالعات مراد و الدهام (Morad & Aldaham 1986) بر روی رسوبات ماسه سنگی پروتوزوژئیک سودان اشاره کرد. حضور کلسیت و دولومیت غنی از آهن

همچنین بدلیل نهشته شدن سازند کربناته مزدوران در بالای سازند کشف رود، احتمال تأمین این نوع سیمان خصوصاً در بخش های بالای سازند، توسط رسوبات کربناته سازند مزدوران وجود دارد. البته باید توجه داشت که این تأثیر بطور عمده در مرحله دیاژنز انتهایی، هنگامی که در معرض دخالت آبهای جوی قرار گرفته بیشتر مؤثر بوده است. در نهایت حضور لایه های شیلی آهکی، و همچنین تجزیه رسها به یکدیگر می توانند از دیگر منشأ های تأمین سیمان کربناته محسوب گردند.

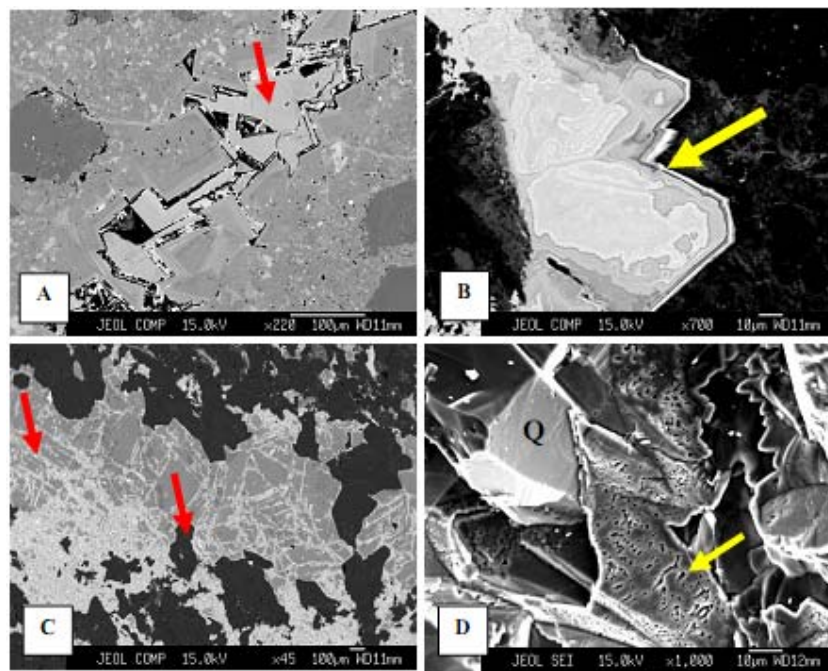
رخساره های ماسه سنگی ترشیاری در حوضه مومناس سوئیس، والدره‌گ و بزرکام (Walderhaug & Bjørkum 1998) بر روی ماسه سنگهای دریایی، سوزا و سیلوا (Souza & Silva, 1998) بر روی رسوبات ماسه سنگی کرتاسه نامورادو در برزیل و سالم و همکاران (Salem *et al.* 2005) بر روی ماسه سنگهای میوسن فوکانی در حوضه دلتای نیل در مصر استوار است. از موارد دیگر تأمین سیمان کربناته احتمالاً پس از نهشته شدن در محیط دریایی، حضور کاتیون و آنیون مورد نیاز در آب دریا در تشکیل این نوع سیمان نقش داشته اند.

جدول ۳: آنالیز ژئوشیمیایی سیمان کربناته در برخی از نمونه های ماسه سنگی سازند کشف رود (AK: آنکریت، CA: کلسیت، SD: سیدریت، DOL: دولومیت)

Sample	TiO ₂	K ₂ O	Na ₂ O	Al ₂ O ₃	MnO	Cr ₂ O ₃	CaO	MgO	SiO ₂	FeO	TYPE OF MINERAL
4	0	0	0	0	2.1707	0.161	52.0942	20.3228	0	25.2375	AK
7	0	0	0	0	0.0721	0	97.8522	0.6044	0	1.471	CA
61	0	0.0672	0.018	0.5504	0.8352	0.2096	69.4323	5.9486	2.8876	20.0513	FE-CA
76	0.0521	0.0333	0.0157	1.4987	1.2094	0.322	50.2042	2.8058	5.7778	38.0799	SD?
81	0	0.3685	0.0504	1.3228	0.4255	0.1739	59.0612	31.5648	2.6919	4.3918	FE-DOL
82	0	0.1098	0.0383	0.2172	0.2719	0.2163	93.531	0.95	0.5879	4.077	FE-CA
109	0	0.3689	0.0712	1.7874	0.5704	0.2908	30.3322	0.9205	7.0543	58.6057	SD?
120	0	0.0695	0.036	0	0.4394	0.1037	64.7052	31.9067	0.1603	2.5824	FE-DOL
261	0.0827	0.0145	0.038	0.0879	1.8756	0.3272	77.2935	5.8546	1.2387	13.1864	FE-CA
429	0	0	0.0711	0.0777	0.9272	0.1985	98.1844	0.2297	0	0.311	CA



شکل ۵: A و B) سیمان سیلیسی که بصورت رورشی در اطراف دانه های کوارتز (Q) تشکیل شده است (فلش)، C و D) دگرسانی فلدسپات (Fl)، که کانی کلسیت ریز تخلخل های حاصل از دگرسانی در امتداد رخها را پر نموده است (فلش)، خرده سنگ ولکانیکی (VRF) دگرسان شده نیز نشان داده شده است. تصاویر B و C به روش Back scattered تهیه شده اند.)



شکل ۶: (A) رشد بلورهای دولومیت در درزه های ایجاد شده و چانشینی بجای کلسیت نیز در دیواره درزه ها (فلش)، (B) اکسید آهن که عنوان سیمان بین دانه ها را پر نموده است. زون بندی مؤید تغییر در میزان یون آهن است که در هر قدر رنگ روشن تر باشد میزان این عنصر افزایش نشان می دهد. این آنالیز ها توسط آنالیز عنصری WDX مشخص شده است (فلش)، (C) درزه های ایجاد شده توسط کانی کربناته از نوع سیدریت (رنگ روشن) و سیلیس (کانی های تیره منفرد) پر شده است (فلش)، (D) رشد کانی شکلدار کوارتز (Q) و کلسیت (فلش) که پر کننده درزه ها می باشد. (تصاویر A, B, C به روش Back scattered و تصویر D با استفاده از دستگاه SEM تهیه شده اند.)

مثال می توان به مطالعات گلدشتاین و راسی (Goldstein & Rossi 2002) بر روی ماسه سنگهای سازند خاتاتبا (ژوراسیک) در شمال غرب مصر اشاره نمود که مشابهت با سیمانهای سیلیسی شناسایی شده در اکثر نمونه های ماسه سنگی سازند کشف رود قابل مطالعه دارد (شکل ۲D).

چندین منشأ توسط مکبراید (McBride, 1989) تامین سیلیس در ماسه سنگها عنوان گردیده است، که ذیلاً آنهاییکه در ایجاد سیلیس موجود در ماسه سنگهای سازند کشف رود موثر بوده اند با استناد به مطالعات انجام شده بر روی رسوبات مشابه تشریح می گردد:

دیاژنز کانیهای رسی (clay minerals diagenesis): تبدیل کانیهای رسی به یکدیگر همانند تبدیل اسمکتیت به ایلیت (illitization) (illitization) را می توان یکی از منابع تأمین سیلیس دانست. مطالعات انجام شده توسط بالز و فرانکس (Boles & Franks 1979) بر روی ماسه سنگهای ویلکاکس در شمال غرب تگزاس آمریکا نشان می دهد که ترکیب K^+ با اسمکتیت باعث تشکیل ایلت و آزاد سازی سیلیس می گردد. سیلیس حاصله می تواند به عنوان سیمان در خلل و فرج ته نشست نماید (واکنش ۱).



۳- سیلیس

سیمان سیلیسی یکی از سیمانهای عمده است که در ماسه سنگهای سازند کشف رود با میانگین ۲۲٪ شناسایی شده است، که به دو شکل رورشندی (overgrowth) و پرکننده حفرات در مجاورت دانه های تحت فشار دیده می شود.

(الف) سیمان سیلیسی که بصورت رو رشدی نهشته شده است. این سیمان در سیاری از نمونه ها شناسایی شده است، و به راحتی توسط اثرات غبار و یا اکسید آهن باقیمانده در سطح خارجی دانه های کوارتز اولیه قابل تفکیک است (شکل-B). طبق مطالعات انجام شده، بطور معمول دو فاکتور اصلی شامل زمان طولانی و دمای بالا توأم با یکدیگر در تشکیل سیلیس بصورت رو رشدی موثر است، (Goldstein & Siegel 1987; Fournier 1985) لذا با در نظر گرفتن زمان تشکیل و تاثیر مرحله دیاژنز دفنی بر ماسه سنگهای سازند کشف رود، این دو عامل نیز در تشکیل سیمان سیلیسی ماسه سنگهای مورد مطالعه این سازند تاثیر گذاشته است.

(ب) سیلیس حاصل از فرآیند انحلال فشاری است که به دلیل فشردگی دانه های کوارتز با یکدیگر یا دیگر دانه های آواری ایجاد شده است، و باعث ته نشست سیلیس و کاهش تخلخل گردیده است. بطور

ماسه سنگهای اوسن ویلکاکس، در جنوب مرکزی تگزاس در آمریکا است.

تأثیر اسیدهای آلی (*The effect of organic acids*): با نظر به اینکه برخی از لایه های شیلی سازند کشف رود از مواد ارگانیکی غنی می باشد، لذا می توان چنین تصور نمود که وجود مواد آلی می تواند یکی از منابع تولید اسیدهای آلی باشد. یونهای سیلیس آزاد شده می توانند بصورت محلول به قسمتهای مختلف حمل شده و در صورت اشباع وجود محیطی اسیدی بصورت سیمان در برخی قسمتها ته نشین شوند. اونتس (Evans 1964)، نیز که بر روی رسوبات مشابه مطالعاتی را انجام داده است نتایج مشابهی را ارائه نموده است.

۴- کانیهای رسی

کانیهای رسی شناسایی شده که بصورت سیمان در نمونه های سازند کشف رود شناسایی شده اند، شامل کلریت، ایلیت، کاولن، سرسیت و ندرتاً زوئزیت می باشد که عمدتاً از دگرسانی فلدسپاتها، میکاها و خرده سنگهای ولکانیکی حاصل گردیده اند. مطالعات کترز و همکاران Ketzer *et al.* 2002)، در رابطه با دگرسانی رسوبات ماسه سنگی رودخانه ای-دلتایی و دریایی سازند مولانگمور با سن کربنیفر در شمال غرب ایرلند که مشابه رسوبات ماسه سنگی سازند کشف رود است، نیز نشان داده است که دگرسانی اجزای فوق در تشکیل کانیهای رسی نقش عمده ای را دارد. ایجاد کانیهای رسی بطور چشمگیری از میزان تخلخل و نفوذ پذیری ماسه سنگها کاسته است. برخی نمونه ها فاقد سیمان رسی بوده، اما در بعضی دیگر حدود ۱۶/۳۶٪ سیمان رسی شناسایی شده است. میانگین سیمان رسی موجود در نمونه های مورد مطالعه حدود ۸/۳٪ می باشد. بر اساس آنالیزهای انجام شده، ترکیب کلریتهای شناسایی شده عمدتاً غنی از Fe^{2+} و Mg^{2+} است. همانطور که در جدول ۴ مشهود است، بنابر آنالیزهای ژئوشیمیایی که بر روی کانیهای رسی انجام گرفته است، کلریت فراوانترین نوع محسوب می گردد. در نمونه های ۵۸، ۱۶۰، ۳۱۷، ۴۰۰، ۴۵۱ و ۲۷۳ میزان اکسید های منیزیم و آهن افزایش چشمگیری داشته است که می تواند دلیل بر تشکیل کانی کلریت باشد. این کانی بیشتر در رخساره هایی که دارای دانه های غنی از Fe^{2+} و Mg^{2+} همانند میکا و خرده سنگهای ولکانیکی هستند، شناسایی شده، و احتمالاً در اثر دگرسانی این دانه ها تشکیل شده است (مثال: رید و همکاران Reed *et al.* 2005)، ماسه سنگهای آپالاش کربنیفر در جنوب غرب ویرجینیا در آمریکا).

کانی رسی دیگر نظیر ایلیت احتمالاً در اثر دگرسانی فلدسپاتها حاصل شده و عمدتاً در طول رخها مشهود است، اما بیان اینکه ایلیت در ماسه سنگهای مورد مطالعه در جازا بوده و یا در اثر دگرسانی حاصل شده باشد، قدری مشکل است. از طرفی احتمال اینکه ایلیت در اثر تبدیل اسمنتکتیت تشکیل شده باشد نیز وجود دارد. لی یو (Liu,

به دلیل وجود رسوبات شیلی فراوان در سازند کشف رود، احتمالاً در طی مراحل دیاژنر دفنی با تبدیل اسمنتکتیت به ایلیت سیلیس آزاد شده، که بعداً بصورت سیمان در لایه های ماسه سنگی ته نشست کرده است. بسیاری از لایه های ماسه سنگی این سازند با میان لایه های رسی تناوب نشان داده که این لایه های رسی بعنوان یک عامل در تشکیل سیمان سیلیسی نقش داشته باشد. بدین صورت که تبدیل اسمنتکتیت به ایلیت در این لایه های رسی باعث آزاد سازی سیلیس شده که بصورت سیمان در برخی قسمت از لایه های ماسه سنگی ته نشست می کند (Towe 1962). محققانی همچون وبر و ریکن (Weber & Ricken 2005)، مطالعاتی در این خصوص بر روی رسوبات سازند سالینگ (تریاس)، در حوضه رسوبی رینهاردسوالد آلمان، که مشابهت با رسوبات سازند کشف رود دراند، نتایج مشابهی را ارائه نموده اند. لذا بر اساس مطالعات افراد فوق می توان نتیجه گرفت که احتمالاً یکی از منشأ های تشکیل سیلیس در ماسه سنگهای سازند کشف رود تبدیل کانیهای اسمنتکتیت به ایلیت می باشد.

دگرسانی (alteration): بخشی از سیلیس حاصل را می توان در نتیجه دگرسانی دانه های آواری همچون فلدسپاتها، میکا و خرده سنگهای ولکانیکی دانست. بسیاری از این دانه ها در نمونه های مورد مطالعه دگرسان شده اند (شکل ۵C-D). دگرسانی فلدسپات را می توان توسط واکنش زیر توجیه نمود (Siebert *et al.* 1984):

$$2\text{NaAlSi}_3\text{O}_8 + \text{CaAl}_2\text{SiO}_8 + 4\text{H}^+_{(\text{aq})} + 2\text{H}_2\text{O} = 2\text{Al}_2\text{Si}_2\text{O}_5(\text{OH})_4 + 4\text{SiO}_2$$

سیلیس حاصل از دگرسانی می تواند به فرم آزاد در آب درون حفره ای وارد شده و پس از اشباع شدن، در بین دانه ها و یا به فرم رو رشدی ته نشین نماید. دگرسانی فلدسپاتها به وفور در ماسه سنگهای سازند کشف رود مشاهده شده است. این فرآیند بیشتر در نمونه هایی که دارای فلدسپات فراوان می باشند، قابل مشاهده است (مثال: وبر و ریکن (Weber & Ricken 2005) رسوبات سازند سالینگ (تریاس)، حوضه رسوبی رینهاردسوالد در آلمان).

انحلال فشاری (Pressure solution): فرآیند انحلال فشاری یکی از مهمترین عوامل موثر در تشکیل سیمان سیلیسی است. وجود کنتاکتهای محدب- مقعر و مضرس در نمونه های مورد مطالعه تائیدی بر فشردگی بالا است (شکل ۲A-B). در این فرآیند سیلیس حل شده و سپس در بین خلل و فرج بصورت سیمان ته نشین شده است. نتایج مطالعات انجام شده بر روی ماسه سنگهای سازند مورد مطالعه مشابه نتایج حاصل از مطالعات محققانی همچون کترز و همکاران Ketzer *et al.* 2005)، بر روی ماسه سنگهای ابومدی (میوسن فوقانی) حوضه دلتای نیل در مصر و فیشر و لند (Fisher & Land 1986)، بر روی

رود مطابقت نشان می دهد. از این میان کانیهای رسی سریزیت تشخیص داده شده نیز بصورت درجaza تشکیل شده است که در بین برخی دانه ها بصورت رشته ای شناسایی شده است.

2003 و منصوربگ (Mansurbeg *et al.* 2006) مطالعاتی را بر روی رسوبات سیلیسی آواری و توربیدیتی انجام شده اند که نتایج بدست آمده با مطالعات انجام شده بر روی ماسه سنگهای مورد مطالعه کشف

جدول ۴: آنالیز ژئوشیمیایی سیمان رسی در برخی از نمونه های ماسه سنگی سازند کشف رود

Sample	TiO ₂	K ₂ O	Na ₂ O	Al ₂ O ₃	MnO	Cr ₂ O ₃	CaO	MgO	SiO ₂	FeO
58	0.0916	0.0299	0	26.3258	0.2867	0.2122	0	11.7409	27.1689	34.3681
160	0.0315	0.0117	0.0438	27.5454	0.0423	0.159	0.1113	9.5648	28.2986	33.8224
317	0.0085	0.0572	0.0401	21.2941	0.0538	0.1341	0.2835	24.8028	36.7928	16.5228
323	0.0809	0.2485	0.0455	6.4631	0.1684	0.1326	0.1621	1.9662	82.7061	8.0159
400	0.2377	1.2961	0.069	25.9777	0.357	0.1811	0.2325	10.2852	35.5964	25.8651
451	0.0321	0.1732	0.8167	0.2806	0.037	0.142	1.284	16.8731	38.8771	13.6888
273	0	0.0477	0.5673	0.3194	0.0228	0.1529	0.4588	15.6161	39.2405	11.9160

فرو رفته اند. این فرآیند نیز توسط مکبراید (McBride *et al.* 1987) و هاسکنچت (Houseknecht 1984) از سازند هارتشورن در کواچیتاس و کیم و لی (Kim & Lee 2003) از رسوبات اردویسین تحتانی، سازند دوگجان کره مطالعه و گزارش شده است، که مشابهت با نتایج بدست آمده بر روی ماسه سنگهای کشف رود دارد.

توالی پاراژنتیکی (paragenetic sequences)

مطالعات انجام شده بر روی نمونه های ماسه سنگی سازند کشف رود منجر به شناسایی و معروفی مراحل مختلف دیاژنتیکی، اولیه، دفعی عمیق و انتهایی در این سازند گردیده است. در این تحقیق بیشتر مراحل سیمانی شدن، فشردگی و تخلخل مورد بحث قرار گرفته شده است (Pouroltani *et al.* 2006) (شکل ۵).

رخدادهای دیاژنتیکی

سیمانی شدن از جمله رخدادهایی است که بر مبنای آن می توان مراحل مختلف دیاژنتیکی را شناسایی کرد و سپس مورد تعبیر و تفسیر قرار داد. این رخداد معمولاً در تمام مراحل ممکن است اتفاق افتد، اما در هر یک از مراحل تشكیل شده ممکن است متفاوت باشد. در سازند کشف رود نیز این فرآیند تقریباً بطور گسترده اتفاق افتاده است. همانگونه که قبلاً بیان گردید، عمدۀ سیمانهایی که در ماسه سنگهای سازند کشف رود طی رخداد سیمانی شدن شناسایی شده اند شامل کربنات، اکسید آهن، سیلیس و رس می باشند. از سیمانهای کربناته شناسایی شده می توان به کلسیت، دولومیت، سیدریت و آکریت اشاره نمود. کلسیت بدون آهن از انواع کربناتهایی محسوب می گردد که عمدتاً طی مراحل دیاژنتیکی اولیه و انتهایی ته نشست کرده است. بسیاری از کربنات های پر کننده بین دانه به شکل بلوكی هستند (شکل F-VE). همچنین کربناتهای از جمله سیمانهایی می باشند که پر کننده درزه و ترکها می باشند (شکل D-6). بنا به مطالعاتی که توسط دیل و همکاران (Dill *et al.* 2005) بر روی رسوبات پالوژن سازند هرزلین زو در منطقه اردن سام مغولستان و سالم و همکاران

فسردگی (Compaction)

فسردگی نیز یکی از فرآیندهایی است که به محض رسوبگذاری به میزان کم یا زیاد بر روی رسوبات اثر می گذارد. نتایج حاصل از مطالعات نشانگر این است که فشردگی در ماسه سنگهای کشف رود به دو صورت مکانیکی و شیمیایی عمل کرده است:

فسردگی مکانیکی: بدليل تنوع بلوغ ترکیبی در ماسه سنگهای سازند کشف رود، در اثر فشار های مکانیکی واردۀ دانه های سخت و مقاوم همچون فلدسپاتها و کوارتز شکسته شده و بسیاری از آنها در یکدیگر فرو رفته اند. اما در مقابل، دانه های قابل انعطاف، همانند میکا و خردۀ سنگهای رسوبی تغییر شکل پیدا کرده اند (شکل C-5)، فرو رفتن دانه های سخت در یکدیگر و همچنین نفوذ دانه های نرم تر و قابل انعطاف، در بین دانه های مقاوم تر عاملی جهت کاهش حجم رسوبات و همچنین پر شدن خلل و فرج بین دانه ها محسوب می گردد. لذا می توان چنین استنباط کرد که عامل فشردگی در کاهش حجم و نهایتاً کاهش تخلخل، تاثیر مستقیم دارد. مشابه این حالت توسط کتزر و همکاران (Ketzer *et al.* 2005)، از ماسه سنگهای ابومدی با سن میوسن فوقانی در حوضه رسوبی دلتای نیل در مصر گزارش شده است. از طرفی دیگر، بسیاری دانه ها در اثر فشارهای مکانیکی شکسته شده، که شکستگیهای حاصل عاملی جهت افزایش تخلخل است (شکل D-7).

فسردگی شیمیایی: این نوع فشردگی که از آن به انحلال فشاری نیز می توان یاد کرد، از جمله فرآیندهای دیاژنتیکی محسوب می گردد. بیشترین اثرات انحلال فشاری در ماسه سنگها، ایجاد سیمان سیلیسی است که در بین دانه ها ته نشین شده و تخلخل موجود را کاهش داده است. در برخی موارد فرآیند انحلال فشاری در رخساره های دانه ریز نسبت به دانه درشت ها بیشتر مشاهده شده است. این فرآیند اینگونه تفسیر می گردد که بدليل اینکه ماسه سنگهای دانه ریز دارای تخلخل بیشتری بوده و از طرفی نسبت به دانه درشتها زاویه دارترند، لذا بیشتر تحت تاثیر فشارهای مکانیکی قرار گرفته و دانه ها بیشتر در یکدیگر

مطالعات کیم و لی (Kim & Lee 2003) بر روی رسوبات اردویسین تحتانی سازند دوگجان در کره، فرآیند رو شدی کوارتز احتمالاً در دمای بین ۹۰ الی ۱۲۰ درجه سانتیگراد اتفاق می افتد، که احتمال وقوع آن در طی مرحله دیاژنر دفنی عمیق بیشتر است. لذا یکی از دلایل مهم وقوع دیاژنر دفنی عمیق در سازند کشف رود پدیده رو شدی کوارتز می باشد. همانطور که در مباحث قبل مورد بحث قرار گرفت، رشد بلوری کوارتز از مرحله دیاژنر اولیه شروع شده است، اما بدلیل فراهم شدن شرایط، از جمله افزایش میزان سیلیس و افزایش دما (Kim & Lee 2003)، این فرآیند در مرحله دیاژنر دفنی عمیق کامل تر اتفاق افتاده است.

تشکیل کانیهای رسی از رخدادهای مهم دیاژنیتیکی بوده که در تفسیر مراحل دیاژنر کاربرد دارند. گرچه هر یک از کانیهای رسی در مراحل مختلفی تشکیل می شود. کلریت، کائولن و سریسیت از کانیهای رسی می باشند که بطور عمدۀ در ماسه سنگهای سازند کشف رود شناسایی شده است، که از این میان کلریت فراوان ترین آنها است. در ماسه سنگهای سازند کشف رود بطور عمدۀ، کانی کلریت، از دگرسانی دانه های موجود در ماسه سنگها همچون میکا و خرد سنتیکی آذرین حاصل شده اند. بر اساس مطالعاتی که توسط هیلیر (Hillier 1994) به روش SEM و XRD بر روی کانیهای رسی انجام داده است و هچنین مطالعاتی که توسط اسپوتوتل و همکاران (Spötl *et al.* 1994) بر روی کلریتهای رسوبات حوضه آرکوما در آمریکا؛ و رید و همکاران (Reed *et al.* 2005) بر روی ماسه سنگهای آپالاش (کربونیفر) جنوب غرب ویرجینیا در آمریکا، و القالی و همکاران (El-ghali *et al.* 2009) بر روی ماسه سنگهای (تریاس)، حوضه پاریس انجام داده اند، تشکیل کلریت را زمانی تعیین نموده اند که فشار بالا و دمای بیشتر از ۱۰۰ درجه سانتیگراد وجود داشته است. مطالعات انجام شده توسط موسوی حرموی و برنس (Moussavi Haramia & Brenner, 1992) بر روی رسوبات حوضه رسوی کپه داغ، بیانگر تدفین رسوبات این حوضه در عمق زیاد می باشد، که ممکن است سازند کشف رود نیز در این عمق تحت تأثیر درجه حرارت بالا قرار گرفته باشد. بنا بر این، زمان تشکیل کانی کلریت در ماسه سنگهای این سازند را می توان به انتهای دیاژنر اولیه و ابتدای دیاژنر دفنی عمیق نسبت داد، گرچه حدود تشکیل آن را نمی توان بطور دقیق تعیین نمود. همچنین در اثر دگرسانی فلدسپاتها نیز، کانیهایی دیگری همچون سریزیت و ایلیت بصورت درجا تشکیل گردیده اند.

از دیگر کانیهای رسی که در طی دیاژنر تشکیل شده است کائولن می باشد، که حاصل دگر سانی فلدسپاتها می باشد، گرچه در نمونه های مورد مطالعه کمتر ظهر نموده است. محققانی چون خانا و همکاران (Khanna *et al.* 1997)، لنسون و همکاران (Lanson *et al.*

(Salem *et al.* 2005))، بر روی ماسه سنگهای مخزن گازی ابومدی (Miosun فوکانی) در حوضه دلتای نیل در مصر انجام شده است، چنین استنباط می گردد که یکی از فاکتورهای موثر در ته نشست این نوع کربنات، دمای بالاتر از ۴۵-۶۵ درجه سانتیگراد است. لذا این تفسیر می تواند مؤید شروع تشکیل این نوع کربنات در رخساره های سازند کشف رود، طی دیاژنر اولیه، و ابتدای مرحله دیاژنر دفنی عمیق باشد. از طرفی بنا به مطالعاتی که هارتمن و همکاران (Hartmann *et al.* 2000) بر روی ماسه سنگهای سازند گاریف (پرمین) در عمان؛ کیم و لی (Kim & Lee 2003)، بر روی رسوبات اردویسین تحتانی سازند دوگجان در کره و رید و همکاران (Reed *et al.* 2005) بر روی ماسه سنگهای آپالاش (کربونیفر) جنوب غرب ویرجینیا در آمریکا انجام داده اند، چنین نتیجه گیری شده است، که تشکیل کانیهای کربناته که عمدتاً شامل کلسیت بدون آهن می باشد، طی مرحله دیاژنر انتهایی تشکیل گردیده است. بر این اساس می توان چنین استنباط نمود که کربنات پر کننده حفرات ماسه سنگهای سازند کشف رود همانند کلسیت بدون آهن می تواند بیان کننده تاثیر مرحله انتهایی دیاژنر بر روی ماسه سنگهای این سازند باشد.

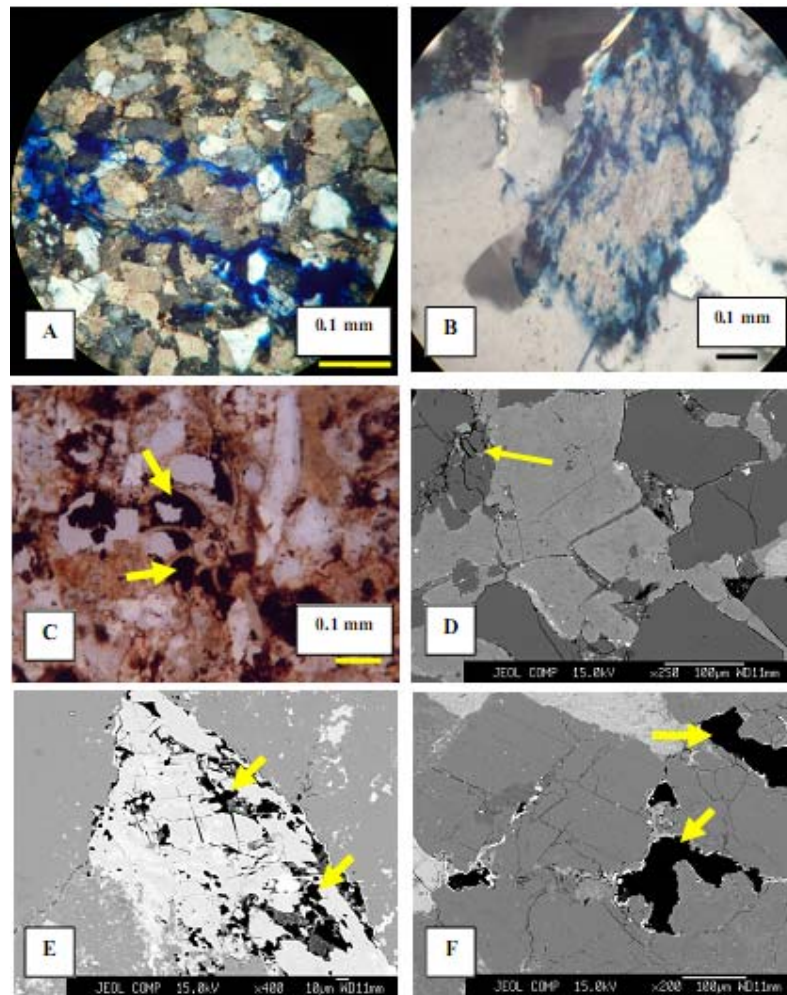
سیمان های کربناته آهن دار به عنوان یک رخداد دیاژنیتیکی طی مراحل دیاژنر دفنی عمیق و دیاژنر انتهایی معرفی می گردد (مثال: دیل و همکاران (Dill *et al.* 2005) رسوبات پالتوزن سازند هرزلین زو در منطقه اردن سام مغولستان و رید و همکاران (Reed *et al.* 2005) ماسه سنگهای آپالاش (کربونیفر) جنوب غرب ویرجینیا در آمریکا). کربناتهای غنی از آهن همانند کلسیت آهن دار، سیدریت، آنکریت و دولومیت آهن دار عمدتاً در انتهای مرحله دیاژنر دفنی در اثر فرآیند جانشینی کلسیت در حفرات تشکیل می گردد (مثال: رید و همکاران (Kim & Lee 2003); کیم و لی (Reed *et al.* 2005)). بنا بر این ظهور کربناتهای آهن دار در ماسه سنگهای مورد مطالعه بیانگر نهشته شدن آنها طی دیاژنر دفنی عمیق و دیاژنر انتهایی است.

با توجه به مباحث قبل در مورد سیمان اکسید آهن، این سیمان بعنوان یکی از رخدادهای نسبتاً مشخص دیاژنیتیکی، در طی دیاژنر اولیه و انتهایی بعد از رخمنون محاسب می گردد، که فضای خالی بین دانه ها، حفرات درون دانه ها و درزه ها اعم از اولیه و یا ثانویه را پر نموده است. در شکل ۶B که با استفاده از ماکروپروب تهیه شده است سیمان اکسید آهن پر کننده فضای بین دانه ها را نشان می دهد. همچنین پرشدن حفرات (تخلخل اولیه) توسط سیمان اکسید آهن شناسایی شده است (شکل ۷C).

سیلیس نیز از جمله سیمانهای مهم است که در ماسه سنگهای سازند کشف رود به اشکال مختلف تشکیل شده است. بر اساس

فلدسبات و میکا در طی مراحل دیاژنتیکی ظاهر می‌شود. بنا بر این کانیهای فلدسبات و میکا دگرسان شده در ماسه سنگهای سازند کشف رود، چنان تفسیر می‌گردد که کائولن موجود در مرحله دیاژن اولیه، بطور عمده در انتهای دیاژن دفنی عمیق و همچنین دیاژن انتهایی تشکیل گردیده است (Hartmann *et al.* 2000).

و رید و همکاران (Reed *et al.* 2005) بر روی کائولن حاصل از دیاژن به ترتیب بر روی ماسه سنگهای منطقه تامپن اسپار (تریاس زیرین-ژوراسیک) در دریای شمال و ماسه سنگهای آپالاش (کربونیفر) جنوب غرب ویرجینیا در آمریکا مطالعاتی را انجام داده اند، و چنان نتیجه گرفته اند که کانی کائولن در اثر دگرسانی کانیهایی همچون



شکل ۷: (A) تخلخل ثانویه حاصل از درزه و ترک که توسط چسب آبی نشان داده شده است. (B) تخلخل ثانویه حاصل از آلتراسیون فلدسباتها، تخلخل توسط ماده آبی نشان داده شده است. (C) حضور گاستریوود که حجره‌های آن (تخلخل اولیه) توسط اکسید آهن پر شده است (فلش). (D) تخلخل ثانویه که در اثر فشردگی باعث شکستگی در دانه‌ها سخت همچون کوارتز بوجود آمده است (فلش). (E, F) تخلخل ثانویه حاصل از انحلال سیمان کربناته (فلش). سیمان کربناته که بشکل بلوکی بین دانه‌ها را پر نموده مشهود است. جاهای تیره رنگ (سیاه) تخلخل می‌باشد. (تصاویر Back scattered D, E, F بروش

تمهیه شده اند).

ادامه پیدا کرده است. بسیاری از شواهد از جمله انحلال فشاری، تماسهای مختلف دانه‌ها با یکدیگر، فرو رفتن کانیهای نرم در بین کانیهای سخت تر و شکستگی کانیهای شکننده مانند کوارتز حاکی از تاثیر فرآیند فشردگی در ماسه سنگهای مورد مطالعه در طی دیاژن است (شکل ۶).

فشردگی از جمله رخدادهای دیاژنتیکی بوده که به محض رسوبگذاری در رسوبات به میزان کم یا زیاد اتفاق می‌افتد و عموماً در طول مراحل دیاژنتیکی اعم از اولیه و دفنی عمیق ادامه دارد (MacBride *et al.* 1987; Liu 2003; Kim & Lee 2003). تاثیر رخداد فشردگی در ماسه سنگهای سازند کشف رود نیز کاملاً محرز و مشخص است، که از ابتدای مرحله دیاژن اولیه شروع شده و تا انتهای دیاژن دفنی عمیق

ها فرآیند انحلال را تحمل نموده اند. همچنین احتمال آن می رود که در برخی رخساره ها، وجود سیالات و اسید های آلی حاصل از مواد ارگانیکی باعث انحلال در دانه ها گردیده است. عامل دیگر جهت ایجاد تخلخل درون دانه ای، شکستگی دانه ها است که در اثر فشردگی مکانیکی حاصل شده است. این تخلخل عمدتاً در طی دیاژنز دفنی عمیق و انتهایی، ایجاد شده است.

بخش ثانویه بین دانه ای، که عمدتاً در اثر انحلال سیمان کربناته حاصل شده است. همانطور که در مباحثت قبل بیان گردید وجود اسیدهای آلی ایجاد شده در برخی از لایه های این سازند از عوامل انحلال سیمان کربناته می گردد. تخلخل حاصل از انواع اصلی تخلخل ثانویه شناسایی شده است (شکل ۷ E-F).

ج) میکرو تخلخلهای موجود در بین بلورهای کانیهای رسی همانند سرسیت، کائولن و کلریت که از دگرسانی دانه هایی همچون فلدسپاتها و خردہ سنگهای آذرین بوجود آمده اند. گرچه این واقعیت نیز وجود دارد که ممکن است حضور کانیهای رسی باعث افزایش تخلخل شود (البته از نوع غیر مفید)، اما بطور چشمگیری باعث کاهش نفوذ پذیری در ماسه سنگها می گردد. بطور نمونه می توان به مطالعات کتز و همکاران (Ketzer *et al.* 2002)، که بر روی آلتراسیون رسوبات ماسه سنگی رودخانه ای دلتایی و دریایی کم عمق در سازند مولانگمور (کربنیفر) در شمال غرب ایرلند انجام شده است اشاره نمود. این نوع تخلخل به روش SEM بر روی ماسه سنگهای سازند کشف رود،

شناسایی شده است گرچه از نظر اقتصادی اهمیت چندانی ندارد. در نهایت طی مطالعات انجام شده بر روی نمونه های ماسه سنگی سازند کشف رود، چنین نتیجه گیری شده است که اولاً نسبت بالای از تخلخل اولیه موجود به تدریج توسط فشردگی و سیمانی شدن از بین رفته است، اما تخلخل ثانویه در اثر رخدادهای دیاژنتیکی همچون انحلال، درزه و ترک حاصل شده است، گرچه میزان آن در برخی رخساره ها قابل توجه نیست. دوم اینکه تخلخل اولیه و ثانویه بین دانه ها در بیشتر موارد از یکدیگر قابل تمیز نیستند، لذا تعیین نسبت تخلخل ثانویه بطور دقیق مقدور نخواهد بود. سوم اینکه در طی بالا آمدگی، افزایش میزان فشردگی باعث ایجاد شکستگی در برخی دانه ها گردیده است که وجود شکستگی ها باعث افزایش میزان تخلخل ثانویه شده است. نتیجه آنکه بعضی از نمونه ها قادر تخلخل بوده، اما برخی دارای تخلخل بالایی می باشند. بنابراین، میانگین تخلخل محاسبه شده در رخساره های مورد مطالعه حدود ۲/۷٪ برآورد شده است، که عمدتاً مربوط به ماسه سنگهای بخش بالای این سازند است. شکل ۸ درصد تخلخل را در لایه های ماسه سنگی نشان می دهد، که می تواند از نظر اقتصادی حائز اهمیت باشد در شکل ۹ نیز حدود

تخلخل (Porosity)

ماسه سنگهای سازند کشف رود پس از رسوبگذاری، طی مراحل دیاژنتیکی، دو فرآیند شیمیایی (سیمانی شدن، انحلال و انحلال فشاری، دگرسانی و جانشینی) و مکانیکی (شکستگی، فشردگی و ایجاد درزه) را تحمل نموده اند. با توجه به اینکه فشردگی مهمترین فرآیند مکانیکی محسوب می شود، لذا طی دیاژنز، تخلخل اولیه بیشتر کاهش یافته است. اما مشاهدات میکروسکوپی نمایانگر این واقعیت است که در برخی از رخساره ها سیمانی شدن مانع فشردگی در مراحل اولیه گردیده است. این در صورتی اتفاق می افتد که سیمانی شدن قبل از فرآیند فشردگی رخ داده باشد. از طرفی دیگر، در برخی رخساره ها، که میزان کانیهای فلدسپات، میکا و خردہ سنگهای آذرین نسبتاً بالا است، به دلیل فرآیند دگرسانی، حفراتی در داخل کانیها ایجاد شده که در افزایش تخلخل تاثیر بسزایی دارد. لذا در این صورت فرآیندهای دیاژنتیکی شیمیایی، بیشترین اثر را در ایجاد تخلخل ثانویه ایفا می نماید (شکل ۷ A-B). گرچه ممکن است بسیاری از تخلخل حاصل مجدداً توسط سیمان پر شده اند (مثال: سالم و همکاران (Salem *et al.* 2005)، ماسه سنگهای مخزن گاز ابو مدي (Molenaar *et al.* 2007)، ماسه سنگهای کامبرین، بالتیک).

بر اساس مطالعات انجام شده بر روی رخساره های متفاوت ماسه سنگی سازند کشف رود سه نوع تخلخل تشخیص داده شده است:

(الف) تخلخل ثانویه که در درون دانه ها بوجود آمده اند، و عمدتاً در ماسه سنگهای در حد آرکوز، لیتیک آرکوز، فلدسپاتیک لیت آرنايت و لیت آرنايت قابل مشاهده است. این نوع تخلخل در اثر فرآیند های دگرسانی و انحلال در فلدسپاتها (پلازیوکلاز و ارتوکلاز)، خردہ سنگهای ولکانیکی و میکا ایجاد شده است. بخش زیادی از تخلخل بر اثر دگرسانی پلازیوکلازها و گاهاً انحلال حاصل شده است، گرچه برخی از این خلل و فرج توسط سیمان پر شده اند. این تخلخل نسبت به تخلخل ثانویه بین دانه ای کمتر است. در این رابطه می توان به مطالعات انجام شده توسط تانگ و همکاران (Tang *et al.* 1997)، بر روی رسوبات ماسه سنگی با سن پرمین-تریاس، در حوضه رسوبی جانگار در جنوبی در شمال غرب چین، و رید و همکاران (Reed *et al.* 2005) بر روی ماسه سنگهای آپالاش با سن کربونیفر در جنوب غرب ویرجینیا در آمریکا اشاره نمود. نتایج حاصل از مطالعات این محققان با نتایج حاصل از مطالعات انجام شده بر روی ماسه سنگهای سازند کشف رود مؤید تأثیر فرآیندهای مؤثر بر ایجاد تخلخل همچون دگرسانی و انحلال در برخی دانه ها می باشد. انحلال عمده دانه ها پس از مرحله فشردگی و سیمانی شدن شروع شده که خود باعث افزایش تخلخل در بیشتر ماسه سنگها شده است. در برخی از نمونه ها حدود نیمی از دانه

نتیجه گیری

بر اساس مطالعات انجام شده، ماسه سنگهای سازند کشف رود عمدتاً لیتیک آرکوز و فلدوپاتیک لیت آرنایت می باشد. همچنین نتایج حاصل از آنالیزهای ژئوشیمیایی و مطالعات پتروگرافی نشانگر این است که فرآیندهای مهم دیاژنتیکی مؤثر بر روی ماسه سنگهای این سازند سیمانی شدن و فشردگی است. از عمدۀ سیمانهای شناسایی شده اکسید آهن، کربناتها، سیلیس و رس است. از میان سیمانهای مذکور بطور میانگین اکسید آهن بیشترین درصد و رس کمترین درصد را شامل می شود. لذا بر مبنای این فرآیند، توالی دیاژنتیکی حاکم بر سازند کشف رود که شامل دیاژنز اولیه، دیاژنز دفنی عمیق و دیاژنز انتهایی است، مطرح می گردد.

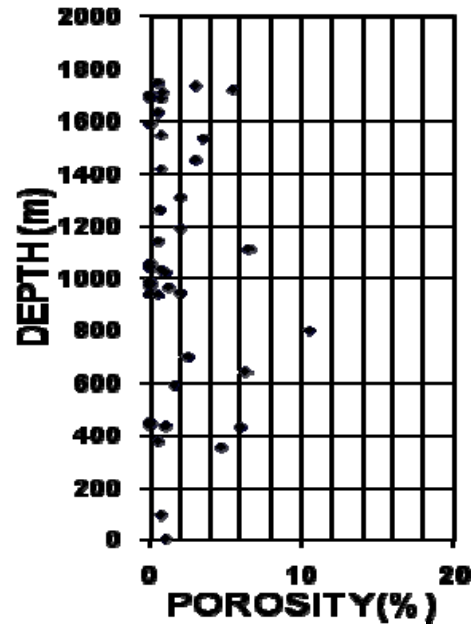
در طی دیاژنس اولیه کلسیت بدون آهن، اکسید آهن، سیلیس، کائولن، در دیاژنس دفنی عمیق کربناتها آهن دار، سیلیس، کلریت، و در دیاژنس انتهایی کلسیت بدون آهن، کربناتها آهن دار، اسید آهن و کائولن تشکیل شده اند.

تخلخل اولیه در ماسه سنگهای سازند کشف رود کمتر شناسایی گردیده است. از بین رفتن تخلخل اولیه را می توان به فرآیندهای سیمانی شده و فشردگی در طی مراحل اولیه دیاژنس نسبت داد. اما تخلخل ثانویه حاصل از فرآیندهای دیاژنتیکی، مورد شناسایی قرار گرفته است. سه نوع تخلخل ثانویه در ماسه سنگهای سازند کشف رود شناسایی شده است. تخلخل درون دانه ای که در اثر دگرسانی و انحلال فلدوپاتها، خرد سنتگهای اولترابازیک و میکاها حاصل شده است. در نهایت میانگین تخلخل در نمونه های مطالعه شده در حدود ۰.۷٪ برآورد شده است.

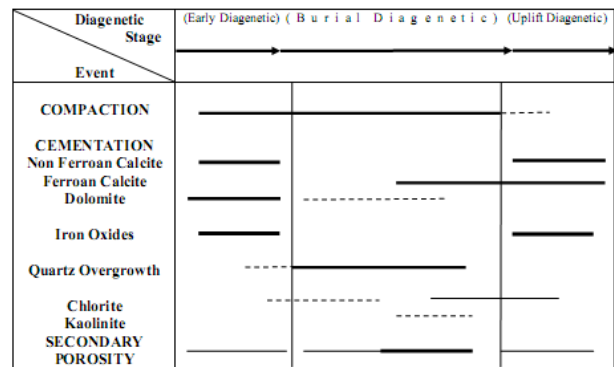
تشکر و قدر دانی

در پایان از دانشگاه آزاد اسلامی واحد مشهد، حوزه پژوهشی جهت تامین بودجه طرح تحقیقاتی و از دانشگاه دالهاوزی کانادا جهت انجام برخی آنالیزهای ژئوشیمیایی به روش ماکروپریوب تشکر و قدردانی می گردد.

رخداد تخلخل و میزان آن در بخش‌های ماسه سنگی سازند کشف رود در طی مراحل مختلف دیاژنتیکی را نشان داده است.



شکل ۸: نمایش درصد تخلخل ماسه سنگهای کشف رود در مقابل عمق بر متر که بروش شمارش نقاط نمونه هایی که با چسب آبی رنگ آغشته شده اند تعیین گردیده است. میزان تخلخل فقط در رخنمون یک بروش نمایش داده شده است.



شکل ۹: توالی دیاژنتیکی سازند کشف رود اخطبوط پر رنگ رخدادهای اصلی، خطوط کم رنگ رخدادهای فرعی و خطوط نقطه چین رخدادهای احتمالی را نشان می دهد.

منابع:

- پورسلطانی، م. ر، موسوی حرمسی، ر. و لاسمی، ی. ۱۳۸۵، شناخت مجموعه های رخساره ای سازند کشف رود (ژوراسیک میانی) و تفسیر محیط رسوی آن، مجموعه مقالات دهمین همایش انجمن زمین شناسی ایران، صفحه ۲۴۸.
- پورسلطانی، م. ر. و موسوی حرمسی، ر. ۱۳۸۷، تفسیر تاریخچه سیمانی شدن سنگهای سیلیسی آواری ژوراسیک میانی در شمال شرق ایران، مجموعه مقالات دوازدهمین همایش انجمن زمین شناسی ایران، ۳۲۹-۳۳۵.

- Afshar Harb A. 1979: The Stratigraphy, Tectonics and Petroleum Geology of the Kopet Dagh Region, Northern Iran: Doctoral Imperial College of Science and Technology, University of London, London, England, 316 p.
- Bennett P., Siegel D. I. 1987: Increased solubility of quartz in water due to complexing by organic compounds. *Nature*, **326**: 684-686.
- Boles J. R., Franks S. G. 1979: Clay diagenesis in Wilcox sandstone of southwest Texas: implications of smectite diagenesis on sandstone cementation. *Journal of Sedimentary Petrology*, **49**: 55-70.
- Dill H.G., Khishigsuren S., Melcher S., Bulgamaa J., Bolormaa Kh., Bot, R., Schwarz-Schampera U. 2005: Facies-related diagenetic alteration in lacustrine-deltaic red beds of the Paleogene Ergeliin Zoo Formation (Erdene Sum area, S. Gobi, Mongolia). *Sedimentary Geology*, **181**: 1-24.
- El-ghali M.A.K., Morad S., Mansurbeg H., Miguel A., Caja M., Sirat N., Ogle. 2009: Diagenetic alterations related to marine transgression and regression in fluvial and shallow marine sandstones of the Triassic Buntsandstein and Keuper sequence, the Paris Basin, France. *Marine and Petroleum Geology*, **26**: 289-309.
- Evans W.D. 1964: Facets of organic geochemistry. In: E.G. Hallsworth and D.V. Crawford (Editors), *Experimental Pedology*, Butterworth, London, 14-28.
- Fisher R.S., Land, L.S. 1986: Diagenetic history of Eocene Wilcox sandstone, South – Central Texas, *Geochim. Cosmochim. Acta*, **50**: 551 – 561.
- Folk R.L. 1980: Petrology of Sedimentary Rock, Hemphill Publishing Co., Texas, 182 p.
- Fournier R.O. 1985: The behavior of silica in hydrothermal solution, in Berger, B. R., and Bethke, P.M., eds., *Geology and Geochemistry of Epithermal Systems*. Society of Economic Geologists, *Reviews in Economic Geology*, **2**: 45-61.
- Goldstein R.H., Rossi C. 2002: Recrystallization in quartz overgrowths. *Journal of Sedimentary Research*, **72**: 432-440.
- Hall J.S., Mozley P., Davis J.M., Roy N.D. 2004: Environments of formation and controls on spatial distribution of calcite cementation in Plio-Pleistocene fluvial deposits, New Mexico, U. S. A. *Journal of Sedimentary Research*, **74**: 643-653.
- Hartmann B. H., Ramseyer K., Matter A. 2000: Diagenesis and pore-water evolution in Permian sandstones, Gharif Formation, Sultana of Oman. *Journal of Sedimentary Research*, **70**: 533-544.
- Hillier S. 1994: Pore-lining chlorites in siliciclastic reservoir sandstones: electron microprobe, SEM and XRD data, and implications for their origin. *Clay Minerals*, **29**: 665-679.
- Houseknecht D.W. 1984: Influence of grain size and temperature in intrangular pressure solution, quartz cementation, and porosity in a quartzose sandstone. *Journal of Sedimentary Petrology*, **54**: 348-361.
- Ketzer J.M., Morad S., Evans R., AL-Aasm I.S. 2002: Distribution of diagenetic alteration in fluvial, deltaic, and shallow marine sandstones within a sequence stratigraphic framework: evidence from the Mullaghmore Formation (Carboniferous), NW Ireland. *Journal of Sedimentary Research*, **72**: 760-774.
- Ketzer J.M., De Ross L.F., Norberto D. 2005: Kaolinitic meniscus bridges as an indicator of early diagenesis in Nubian sandstone, Sinai, Egypt – discussion. *Sedimentology*, **52**: 3213-217.
- Khanna M., Saigal G.C., Børlykke K. 1997: Kaolinitization of Upper Triassic-Lower Jurassic sandstones of the Tampen Spur area, North Sea: implications for early diagenesis and fluid flow. In: I.P. Montañez J.M., Gregg K.L., Shelton Editors, Basin-wide diagenetic patterns: integrated petrologic, geochemical, and hydrologic considerations. *SEPM Special Publication*, **57**: 253–268.
- Kim Y., Lee Y.I. 2003: Diagenesis of shallow marine sandstones, the Lower Ordovician Donggeom Formation, Korea: response to relative sea-level changes. *Journal of Asian Earth Sciences*, **23**: 235-245.
- Lanson B., Beaufort D., Berger G., Bauer A., Cassagnabère A., Meunier A. 2002: Authigenic kaolin and illitic minerals during burial diagenesis of sandstones: a review. *Clay Mineral*, **37**: 1-22.
- Liu K.W. 2003: Deep-burial diagenesis of the siliciclastic Ordovician Natal Group, South Africa. *Sedimentary Geology*, **154**: 177-189
- Madani M. 1977: A study of the sedimentology, stratigraphy and regional geology of the Jurassic rocks of eastern Kopet Dagh (NE Iran). Unpublished Ph.D. thesis, Royal School of Mines, Imperial College, London, 246.
- Mansurbeg H., El-ghali M.A.K., Morad S., Plink-Björklund P. 2006: The impact of meteoric water on the diagenetic alterations in deep-water, marine siliciclastic turbidites. *Journal of Geochemical Exploration*, **89**: 254-258.
- Matyas J. 1998: Carbonate cements in the Tertiary sandstones of the Swiss Molasse basin, relevance to palaeohydrodynamic reconstruction. *Sedimentology*, **26**: 141 – 162.
- McBride E.F. 1989: Quartz cement in sandstones: A review. *Earth-Science Reviews*, **26**: 69 – 112.
- McBride E.F., Land L.S., Mack L.E. 1987: Diagenesis, Norphler Formation (Upper Jurassic), Rankin County, Mississippi, and Mobile County, Alabama. *American Association of Petroleum Geologists Bulletin*, **71**: 1019-1034.
- Molenaar N., Cyzine J., Sliaupa S. 2007: Quartz cementation mechanisms and porosity variation in Baltic Cambrian sandstones. *Sedimentary Geology*, **195**: 135-159.
- Morad S., Aldaham A.A. 1986: Diagenetic alteration of detrital biotite in Proterozoic sedimentary rocks from Sweden. *Sedimentary Geology*, **47**: 95-107.
- Moussavi-Harami R., Brenner R.L. 1992: Geohistory analysis and petroleum reservoir characteristics of Lower Cretaceous (Neocomian) sandstones, eastern Kopet Dagh Basin, northeastern Iran. *American Association of Petroleum Geologists Bulletin*, **76**: 1200-1208.

- Poursoltani M.R., Gibling R.M. 2006: The Kashafrud Formation of Iran: the Jurassic turbidites in the Neotethys Ocean, and their reservoir evolution. *The Atlantic Geoscience Society, 32nd Colloquium and Annual Meeting, Canada, Abstracts*. 61.
- Poursoltani M.R., Gibling R.M., Moussavi Harami R. 2006: Sedimentology and diagenesis of a turbidite succession: the Jurassic Kashafrud Formation of the Kopet-Dagh Basin. *17th International Sedimentological Congress, Japan, Abstracts*, **B**: 121.
- Poursoltani M.R., Moussavi Harami R., Gibling R.M. 2007: Jurassic deep-water fans in the Neo-Tethys Ocean: The Kashafrud Formation of the Kopet-Dagh Basin, Iran. *Sedimentary Geology*, **198**: 53-74.
- Reed J.S., Eriksson K.A., Kowalewski M. 2005: Climatic, depositional and burial controls on diagenesis of Appalachian Carboniferous sandstones: qualitative and quantitative methods. *Sedimentary Geology*, **176**: 225-246.
- Ros L.F.De., Morad S., Al-Aasm I.S. 1997: Diagenesis of siliciclastic and volcaniclastic sediments in the Cretaceous and Miocene sequences of the NW African margin (DSDP Leg 47A, Site 397). *Sedimentary Geology*, **112**: 137-156.
- Salem A.M., Ketzer J.M., Morad S., Rizk, R.R., Al-Aasm I.S. 2005: Diagenesis and Reservoir-Quality evolution of incised-valley sandstones: Evidence from the Abu Madi Gas Reservoirs (Upper Miocene), The Nile Delta Basin, Egypt. *Journal of Sedimentary Research*, **75**: 572-584.
- Siebert R.M., Moncure G.K., Lanham R.W. 1984: A theory of framework grain dissolution in sandstones, In: Clastic Diagenesis (Ed, D. A. McDonald and R. C. Surdan). pp. 163-176. AAPG Memoir 37. Tulsa. Oklahoma. U. S. A.
- Souza R.S., Assis Silva C.M. 1998: Origin and timing of carbonate cementation of the Namorado Sandstone (Cretaceous), Albacora Field, Brazil: implications for oil recovery. *Sedimentology*, **26**: 309 – 325.
- Spötl C., Houseknecht D.W., Longstaffe F.J. 1994: Authigenic chlorites in sandstones as indicators of high-temperature diagenesis, Arkoma foreland basin, USA. *Journal of Sedimentary Research*, **64**: 553–566.
- Tang Z., Parnell J., Longstaffe F.J. 1997: Diagenesis and reservoir potential of Premian – Triassic fluvial/lacustrine sandstone in the Southern Junggar Basin, Northwestern China. *American Association of Petroleum Geologists Bulletin*, **81**: 1843 – 1865.
- Towe K.M. 1962: Clay mineral diagenesis of a possible source of silica cement in sedimentary rocks. *J. Sediment. Petrol.* **32**: 26-28.
- Walderhaug O., Bjørkum P.A. 1998: Calcite cement shallow marine sandstones: growth mechanisms and geometry. *Sedimentology*, **26**: 179 – 192.
- Wanas H.A. 2008: Calcite-cemented concretions in shallow marine and fluvial sandstones of the Birket Qarun Formation (Late Eocene), El-Faiyum depression, Egypt: Field, petrographic and geochemical studies: Implications for formation conditions. *Sedimentary Geology*, **212**: 40-48.
- Weber J., Ricken W. 2005: Quartz cementation and related sedimentary architecture of the Triassic Solling Formation, Reinhardswald Basin, Germany. *Sedimentary Geology*, **175**: 459 – 477.